

ผลของความเข้มข้น SO_2 ต่อความสามารถในการทำปฏิกิริยาของตัวเร่งปฏิกิริยา $\text{V}_2\text{O}_5\text{-MgO/TiO}_2$ ในการกำจัด NO ร่วมกับโทลูอีนในแก๊สปล่อยทิ้ง

Effects of SO_2 concentrations on the catalytic activity of $\text{V}_2\text{O}_5\text{-MgO/TiO}_2$ during the
simultaneous removal of NO and toluene in an effluent gas

นัฐชยาภัคตรี สร้อยแสง, ธราธร มงคลศรี

ภาควิชาวิศวกรรมเคมี คณะวิศวกรรมศาสตร์ จุฬาลงกรณ์มหาวิทยาลัย เขตพญาไท กรุงเทพมหานคร

*ติดต่อ E-mail: nutchayapak@hotmail.com

บทคัดย่อ

งานวิจัยนี้ศึกษาผลของความเข้มข้น SO_2 ในการกำจัดโทลูอีนร่วมกับ NO ที่มีอยู่ร่วมกันในแก๊สปล่อยทิ้ง โดยใช้ตัวเร่งปฏิกิริยา $\text{V}_2\text{O}_5/\text{TiO}_2$ ที่ได้รับการเสริมด้วย MgO 0.64 wt% แก๊สปล่อยทิ้งจำลองที่ใช้ในการทดสอบ ประกอบด้วย O_2 13 vol% H_2O 11 vol% NO 104 ppm NH_3 104 ppm Toluene 200 ppm และ SO_2 26 ppm หรือ 78 ppm โดยส่วนที่เหลือคือ N_2 ที่อัตราการไหลรวม 230 ml/min การกำจัด NO อาศัยปฏิกิริยาการรีดิวซ์แบบเลือกเกิดกับ NH_3 ($\text{NH}_3\text{-SCR}$) ส่วนกำจัดโทลูอีนอาศัยปฏิกิริยาการออกซิไดซ์กับ O_2 ที่อยู่ในแก๊สปล่อยทิ้ง การทดสอบปฏิกิริยาทำในช่วงอุณหภูมิ 120 ถึง 450 °C ผลการทดลองแสดงให้เห็นว่าในกรณีปฏิกิริยาการออกซิไดซ์โทลูอีนนั้น ความเข้มข้น SO_2 ที่สูงขึ้นส่งผลให้การกำจัดโทลูอีนเกิดได้ดีขึ้นทั้งในระบบแยกทดสอบปฏิกิริยาและระบบรวมปฏิกิริยา สัดส่วนโทลูอีนที่เปลี่ยนไปเป็น CO_2 เพิ่มขึ้นในระบบแยกทดสอบปฏิกิริยา แต่ในระบบรวมปฏิกิริยาให้ผลที่ตรงข้าม สำหรับการกำจัด NO พบว่าความเข้มข้น SO_2 ที่สูงขึ้นส่งผลกระทบต่อเพียงเล็กน้อยในระบบแยกปฏิกิริยา แต่ในระบบปฏิกิริยารวมทำให้ความสามารถในการกำจัด NO ลดลงเล็กน้อย

Abstract

This research studies effects of SO_2 concentrations on the removal of toluene and NO in an exhaust gas using a $\text{V}_2\text{O}_5/\text{TiO}_2$ catalyst promoted with 0.64 wt.% of MgO. The simulated exhaust gas contains O_2 13 vol%, H_2O 11 vol%, NO 104 ppm, NH_3 104 ppm, Toluene 200 ppm and SO_2 26 ppm or 78 ppm and balanced with N_2 . The total flow rate is 230 ml/min. NO removal based on the selective catalytic reduction with NH_3 ($\text{NH}_3\text{-SCR}$). Toluene removal was based on the oxidation reaction with O_2 already existed in the effluent gas. The reaction is carried out in

the reaction temperature range 120 to 450 °C. The experimental results showed that in case of toluene removal, the increased SO₂ concentration promoted the removal of toluene in both the single removal system and the combined removal system. The conversion of toluene to CO₂ at high SO₂ concentration, however, increased in the case of the single removal system but decreased in the case of the combined removal system. For the removal of NO by the NH₃-SCR reaction, it was observed that the higher SO₂ concentration slightly affected the higher NO conversion in the single system. In the combined system, however, a slight decrease in NO conversion was observed.

คำสำคัญ: การออกซิไดซ์โทลูอีน, การกำจัด NO, ตัวเร่งปฏิกิริยา V₂O₅/TiO₂, NH₃-SCR

บทนำ

อุตสาหกรรมในปัจจุบันที่มีการพัฒนาขึ้นอย่างรวดเร็ว ส่งผลให้โรงงานอุตสาหกรรมปล่อยแก๊สไอเสียออกมาเป็นจำนวนมาก ตัวอย่างเช่น สารประกอบไนโตรเจนออกไซด์ (NO_x), ซัลเฟอร์ไดออกไซด์ (SO₂) และสารอินทรีย์ที่ระเหยกลายเป็นไอได้ง่าย (Volatile Organic Compounds: VOCs) เป็นต้น

สารประกอบไนโตรเจนออกไซด์ (NO_x) เกิดจากกระบวนการเผาไหม้ที่ใช้อากาศเป็นเชื้อเพลิง เพราะอากาศมีไนโตรเจนเป็นองค์ประกอบหลัก โดยตัวที่พบมากที่สุดคือไนโตรเจนมอนอกไซด์ (NO) การกำจัด NO สามารถทำได้โดยใช้กระบวนการรีดักชันแบบเลือกเกิด (Selective Catalytic Reduction หรือ SCR) โดย NO จะถูกรีดิวซ์ด้วย NH₃ โดยมีตัวเร่งปฏิกิริยาช่วย (ที่รู้จักกันในชื่อปฏิกิริยา NH₃-SCR) โดย NO จะทำปฏิกิริยากับ NH₃ และเกิดแก๊ส N₂ และไอน้ำขึ้น

ในส่วนของกำจัดสารอินทรีย์ที่ระเหยง่าย เทคนิคการกำจัดจะขึ้นอยู่กับชนิดของสารอินทรีย์และคุณสมบัติทางกายภาพของแก๊สปล่อยทิ้ง สารอินทรีย์ตัวหนึ่งที่มีการปลดปล่อยออกมากับแก๊สปล่อยทิ้งและมีความอันตรายคือโทลูอีน โทลูอีนได้รับการจัดเป็นสารระเหยง่ายที่มีลักษณะเป็นของเหลวใส ไม่มีสี ติดไฟได้ง่ายที่มีความดันบรรยากาศและอุณหภูมิปกติ ทำให้เกิดการระคายเคืองต่อระบบทางเดินหายใจและผิวหนัง ถ้าหากถูกปล่อยลงสู่แหล่งน้ำก็จะเป็นมลพิษต่อระบบนิเวศในน้ำ

ตัวเร่งปฏิกิริยาวานาเดียมออกไซด์ (V₂O₅) เป็นหนึ่งในตัวเร่งปฏิกิริยาที่มีความเป็นกรดซึ่งสามารถทำปฏิกิริยาการออกซิไดซ์แบบเลือกเกิดได้ดี [1] และในกรณีที่แก๊สปล่อยทิ้งมีซัลเฟอร์ไดออกไซด์รวมอยู่ด้วย จะนิยมใช้ไทเทเนียมไดออกไซด์ (TiO₂) เฟส anatase เป็นตัวรองรับ [2] โดยพบว่า V₂O₅/TiO₂ สามารถทำการออกซิไดซ์โทลูอีนไปเป็นคาร์บอนไดออกไซด์ได้ดีในระดับหนึ่งและในปฏิกิริยารีดักชันแบบเจาะจง (SCR) ของ NO โดยใช้แอมโมเนียเป็นตัวรีดิวซ์ พบว่าสามารถกำจัด NO ได้ดีในช่วงอุณหภูมิ 250-300 °C [3]

ในงานวิจัยก่อนหน้าของคณะผู้วิจัยได้จำลองแก๊สปล่อยทิ้งที่เกิดจากโรงไฟฟ้าที่ใช้เครื่องยนต์กังหันแก๊ส ซึ่งเป็นแก๊สปล่อยทิ้งที่มีปริมาณ SO₂ ค่อนข้างต่ำ และพบว่า V₂O₅/TiO₂ ที่ได้รับการเสริมด้วย MgO 0.5 wt%

ส่งผลให้สัดส่วนการเปลี่ยนโทลูอินไปเป็น CO_2 มีค่าสูงสุด นอกจากนี้ในระบบการกำจัด NO ร่วมกับโทลูอินยังพบว่า การเติม MgO ในปริมาณที่เหมาะสมทำให้ความสามารถในการกำจัด NO เพิ่มขึ้นเมื่อเทียบกับระบบที่มีแต่ปฏิกิริยา $\text{NH}_3\text{-SCR}$ เพียงอย่างเดียว [3]

วัตถุประสงค์ของงานวิจัยนี้เป็นการขยายขอบเขตงานที่คณะผู้วิจัยได้กระทำไว้ก่อนหน้านี้ คือศึกษาความเป็นไปได้ในการใช้ตัวเร่งปฏิกิริยา $\text{V}_2\text{O}_5\text{-MgO/TiO}_2$ ที่ออกแบบมาเพื่อใช้งานกับแก๊สปล่อยทิ้งที่มีความเข้มข้นของ SO_2 ต่ำว่าสามารถใช้งานได้กับแก๊สปล่อยทิ้งที่มีความเข้มข้นของ SO_2 สูงขึ้นได้หรือไม่ โดยแก๊สปล่อยทิ้งที่มีความเข้มข้น SO_2 สูงขึ้นจะเป็นแบบจำลองแก๊สปล่อยทิ้งที่เกิดจากการเผาไหม้ของเชื้อเพลิงจากฟอสซิลที่มีกำมะถันสูง เช่น น้ำมันเตาและถ่านหิน

อุปกรณ์และวิธีการทดลอง

การเตรียมตัวเร่งปฏิกิริยา

การเตรียมตัวเร่งปฏิกิริยา $\text{V}_2\text{O}_5\text{-MgO/TiO}_2$ ใช้วิธีการเคลือบฝังแบบเปียก (Wet impregnation) โดยการเตรียมถูกแบ่งเป็น 3 ขั้นตอน ได้แก่

1. การเตรียมตัวรองรับไททาเนียมไดออกไซด์ (TiO_2 เฟส anatase รหัส P25) โดยนำตัวรองรับ TiO_2 ไปเผาในอากาศ (Calcination) ที่อุณหภูมิ $500\text{ }^\circ\text{C}$ เป็นเวลา 4 ชั่วโมง
2. การเตรียมตัวเร่งปฏิกิริยา $\text{V}_2\text{O}_5/\text{TiO}_2$ เริ่มด้วยการละลายสารตั้งต้นโลหะวานาเดียมซึ่งได้แก่ ammonium metavanadate (NH_4VO_3) ด้วยน้ำกลั่น โดยอาจมีการเติม oxalic acid ช่วยเพื่อให้เกลือวานาเดียมละลายหมด จากนั้นจึงเติมตัวรองรับ TiO_2 (P25) ที่ได้จากขั้นตอนแรก ทำการปั่นกวนที่อุณหภูมิ $60\text{ }^\circ\text{C}$ จนสารละลายหนืดแล้วจึงนำไปอบที่อุณหภูมิ $110\text{ }^\circ\text{C}$ เป็นเวลา 12 ชั่วโมง หลังการอบจะนำเอาของแข็งที่ได้มาอบด้วยโรงแบบสารให้ละเอียดก่อนนำไปเผาในอากาศที่อุณหภูมิ $500\text{ }^\circ\text{C}$ เป็นเวลา 4 ชั่วโมง ซึ่งจะได้ตัวเร่งปฏิกิริยา $\text{V}_2\text{O}_5/\text{TiO}_2$
3. การเตรียมตัวเร่งปฏิกิริยา $\text{V}_2\text{O}_5\text{-MgO/TiO}_2$ เริ่มจากการนำเกลือ magnesium nitrate hexahydrate ($\text{Mg}(\text{NO}_3)_2 \cdot 6\text{H}_2\text{O}$) ละลายในน้ำกลั่น จากนั้นเติมตัวเร่งปฏิกิริยา $\text{V}_2\text{O}_5/\text{TiO}_2$ ที่ได้จากขั้นตอนที่ 2 ลงไป ทำการปั่นกวนที่อุณหภูมิ $60\text{ }^\circ\text{C}$ จนสารละลายหนืดแล้วจึงนำไปอบที่อุณหภูมิ $110\text{ }^\circ\text{C}$ เป็นเวลา 12 ชั่วโมง หลังการอบจะนำเอาของแข็งที่ได้มาอบด้วยโรงแบบสารให้ละเอียดก่อนนำไปเผาในอากาศที่อุณหภูมิ $500\text{ }^\circ\text{C}$ เป็นเวลา 4 ชั่วโมง ซึ่งจะได้ตัวเร่งปฏิกิริยา $\text{V}_2\text{O}_5\text{-MgO/TiO}_2$

การวิเคราะห์ตัวเร่งปฏิกิริยา

1. การวิเคราะห์หาปริมาณของโลหะบนตัวเร่งปฏิกิริยาใช้เทคนิค Inductively Coupled Plasma Optical Emission Spectroscopy (ICP-OES) โดยทำการตรวจวัดด้วยเครื่อง ICP-OES Perkin Elmer Optima 7000DV สารละลายตัวอย่างเตรียมได้จากการนำตัวเร่งปฏิกิริยา $\text{V}_2\text{O}_5\text{-MgO/TiO}_2$ มาละลายในสารละลายผสม

ระหว่างกรดกำมะถัน (H_2SO_4) เข้มข้น 99 % จำนวน 20 ml และ $(NH_4)_2SO_4$ จำนวน 15 g พร้อมทั้งปั่นกวน และให้ความร้อนที่อุณหภูมิประมาณ $150\text{ }^{\circ}C$ จนสารละลายเปลี่ยนเป็นสารละลายใส จากนั้นจึงปรับปริมาตรด้วย น้ำกลั่นให้ได้ 100 มิลลิลิตร ก่อนส่งไปวิเคราะห์ความเข้มข้นโลหะ

2. วิเคราะห์โครงสร้างผลึกของตัวเร่งปฏิกิริยาด้วยเทคนิค X-Ray Diffraction (XRD) ที่อาศัยหลักการเลี้ยวเบนของรังสีเอ็กซ์ด้วยเครื่อง BRUKER D8 ADVANCE X-ray diffractometer ที่เชื่อมต่อกับคอมพิวเตอร์ ที่มีโปรแกรม Diffract ZT version 3.3 โดยใช้แหล่งกำเนิดรังสีเอ็กซ์เป็น Cu K α radiation ซึ่งมีความยาวคลื่น (λ) = 1.54056 \AA ที่ช่วงมุม 2θ ตั้งแต่ 20° ถึง 80° โดยมีอัตราการเพิ่ม $0.02\text{ }^{\circ}/\text{min}$

3. การหาพื้นที่ผิวของตัวเร่งปฏิกิริยาด้วยเทคนิค Nitrogen Physisorption ด้วยเครื่อง Micromeritics ChemiSorb 2020 โดยใช้สารตัวอย่าง 1 g การตรวจวัดพื้นที่ผิวจะอาศัยหลักการการดูดซับและการคายซับของ ไนโตรเจนบนตัวเร่งปฏิกิริยาที่อุณหภูมิ $-196\text{ }^{\circ}C$

4. วัดปริมาณความเป็นกรดทั้งหมดบนพื้นผิวตัวเร่งปฏิกิริยาด้วยเทคนิค Pyridine adsorption โดยใช้ตัวเร่งปฏิกิริยา 0.1 g บรรจุลงในท่อรูปถ้วยที่ติดตั้งอยู่ในเครื่อง Gas Chromatograph Shimadzu GC-8A ที่ติดตั้งตัวตรวจวัดชนิด Flame Ionization Detector (FID) ใช้ N_2 เป็น carrier gas ที่อัตราการไหล $25\text{ ml}/\text{min}$ โดยตั้งอุณหภูมิคอลัมน์ไว้ที่ $150\text{ }^{\circ}C$ จากนั้นฉีด pyridine ครึ่งละ $0.2\text{ }\mu\text{l}$ เข้าเครื่องคอลัมน์ไปเรื่อยๆ จนกว่าจะพบว่าตัวเร่งปฏิกิริยาได้ดูดซับ pyridine จนอิ่มตัวแล้ว (สังเกตได้จากพีค pyridine ด้านขาออกมีขนาดเพิ่มขึ้นจนคงที่) ปริมาณความเป็นกรดทั้งหมดสามารถคำนวณได้จากผลรวมของค่าผลต่างของไพรีดีนที่ดูดซับจนอิ่มตัวกับปริมาณไพรีดีนที่เหลือจากการดูดซับแต่ละครั้ง

5. วัดปริมาณความเป็นกรดบนพื้นผิวตัวเร่งปฏิกิริยาที่สามารถดูดซับ NH_3 ได้ที่อุณหภูมิไม่เกิน $500\text{ }^{\circ}C$ ด้วยเทคนิค NH_3 Temperature Programmed Desorption (NH_3 -TPD) โดยใช้เครื่อง Micromeritics chemisorb 2750 ที่ติดตั้งตัวตรวจวัดชนิด Thermal conductivity detector (TCD) การวิเคราะห์เริ่มจากการนำตัวเร่งปฏิกิริยาจำนวน 0.1 g บรรจุในหลอดแก้วรูปถ้วย จากนั้นจะทำการไล่อากาศและความชื้นออกจากรูพรุนของตัวเร่งปฏิกิริยาด้วยการผ่านแก๊ส He ที่อัตราการไหล $50\text{ ml}/\text{min}$ ที่อุณหภูมิ $220\text{ }^{\circ}C$ นาน 2 ชั่วโมง หลังจากนั้นลดอุณหภูมิตัวอย่างลงเหลือ $120\text{ }^{\circ}C$ เพื่อทำการดูดซับ NH_3 โดยผ่านแก๊ส NH_3 ที่อัตราการไหล $25\text{ ml}/\text{min}$ เป็นเวลา 30 นาที เพื่อให้มั่นใจว่าพื้นผิวตัวเร่งปฏิกิริยาดูดซับ NH_3 จนอิ่มตัว หลังเสร็จสิ้นการดูดซับทำการไล่ NH_3 ส่วนเกินออกด้วยการใช้แก๊ส He จากนั้นจึงทำการเพิ่มอุณหภูมิตัวอย่างไปจนถึง $500\text{ }^{\circ}C$ ด้วยอัตราการเพิ่มอุณหภูมิ $10\text{ }^{\circ}C/\text{min}$ และคงไว้ที่อุณหภูมิดังกล่าวเป็นเวลานาน 70 นาที เพื่อให้ตัวเร่งปฏิกิริยาเกิดการคายซับแอมโมเนีย ปริมาณ NH_3 ที่คายซับออกมามีจำนวนได้จากพื้นที่ใต้กราฟของสัญญาณที่ได้ เหตุผลที่ต้องจำกัดอุณหภูมิที่ใช้ในการวิเคราะห์ไว้สูงสุดที่ $500\text{ }^{\circ}C$ เพื่อป้องกันไม่ให้ออกซิเจนที่ตัวรองรับ TiO_2 จะเกิดการเปลี่ยนแปลงเฟสจากเฟสอนาเทสไปเป็นเฟสรูไทล์ได้

การทดสอบความว่องไวในการทำปฏิกิริยา

การทดสอบความว่องไวในการทำปฏิกิริยาเริ่มจากการบรรจุตัวเร่งปฏิกิริยา 0.1 g ลงในท่อปฏิกรณ์แบบเบดนิ่ง (Tubular fixed bed reactor) ที่มีเส้นผ่าศูนย์กลางภายนอกขนาด 3/8 นิ้ว และใช้อัตราการไหลรวมของแก๊สผสมตั้งต้นในการทดลอง 230 ml/min องค์ประกอบของแก๊สผสมแสดงตามตารางที่ 1 การทดสอบความว่องไวในการทำปฏิกิริยาของตัวเร่งปฏิกิริยา V_2O_5 -MgO/TiO₂ กระทำในช่วงอุณหภูมิ 120-450 °C โดยกระทำการทดสอบในสภาวะ 3 สภาวะ ดังนี้

1. ปฏิกิริยา NH₃-SCR (ระบบการทดสอบแยกปฏิกิริยา)
2. ปฏิกิริยาการออกซิไดซ์โทลูอิน (ระบบการทดสอบแยกปฏิกิริยา)
3. ปฏิกิริยา NH₃-SCR ร่วมกับปฏิกิริยาการออกซิไดซ์โทลูอิน (ระบบการทดสอบปฏิกิริยารวมหรือ combined removal system)

การคำนวณร้อยละการเปลี่ยนสารตั้งต้นไปเป็นผลิตภัณฑ์

ปฏิกิริยาโทลูอินออกซิเดชันสามารถคำนวณหาร้อยละการเปลี่ยนโทลูอินไปเป็นผลิตภัณฑ์ตามสมการที่ 1 และคำนวณร้อยละการเลือกเกิดของโทลูอินไปเป็นคาร์บอนไดออกไซด์ตามสมการที่ 2

$$\% \text{Toluene conversion} = \frac{[\text{Toluene in}] - [\text{Toluene out}]}{[\text{Toluene in}]} \times 100 \quad (1)$$

$$\% \text{CO}_2 \text{ selectivity} = \frac{\text{CO}_2 \text{ out} / 7}{[\text{Toluene in} - \text{Toluene out}]} \times 100 \quad (2)$$

สำหรับปฏิกิริยารีดักชันแบบเจาะจงสามารถคำนวณหาร้อยละการกำจัดแก๊สไนโตรเจนมอนอกไซด์ตามสมการที่ 3

$$\% \text{NO conversion} = \frac{[\text{NO in}] - [\text{NO out}]}{[\text{NO in}]} \times 100 \quad (3)$$

ตารางที่ 1 องค์ประกอบของแก๊สที่ใช้ในการทดสอบตัวเร่งปฏิกิริยา

แก๊สตั้งต้น	ความเข้มข้น		
	SCR	Toluene oxidation	Mix
โทลูอิน	-	200 ppm	200 ppm
O ₂	13%	15%	13%
NO	104 ppm	-	104 ppm
NH ₃	104 ppm	-	104 ppm
ไอน้ำ	13%	-	13%
SO ₂	26, 78 ppm	26, 78 ppm	26, 78 ppm
N ²	balance	balance	balance

ผลการทดลองและวิจารณ์ผลการทดลอง

การวิเคราะห์คุณสมบัติของตัวเร่งปฏิกิริยา

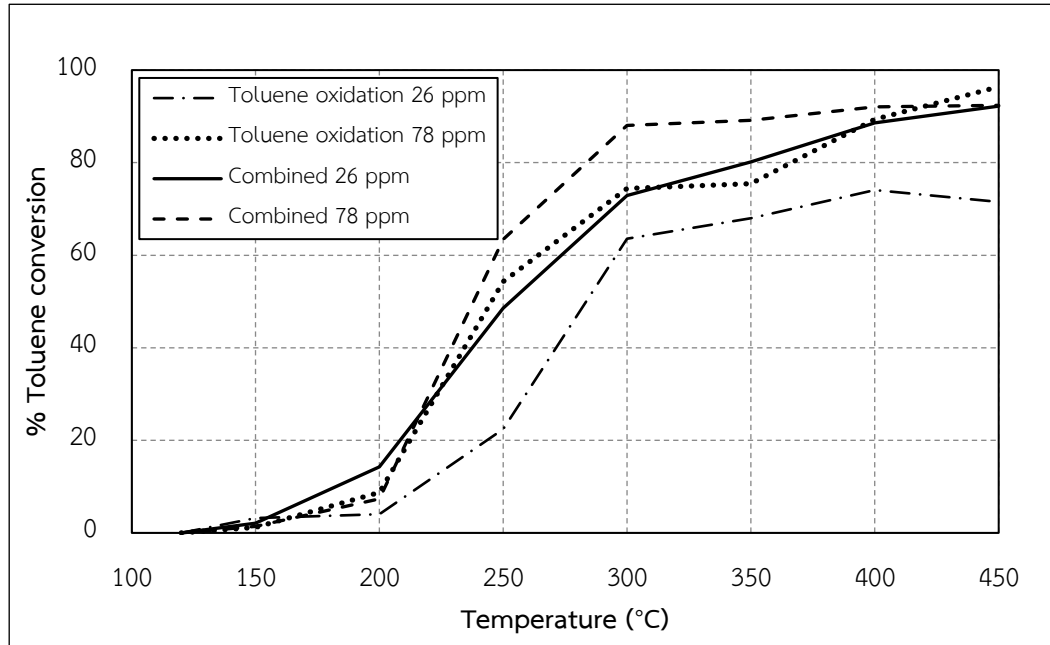
ผลการวิเคราะห์องค์ประกอบทางเคมีและคุณสมบัติทางกายภาพของตัวเร่งปฏิกิริยาที่เตรียมได้แสดงไว้ในตารางที่ 2 เมื่อเปรียบเทียบข้อมูลการวัดปริมาณความเป็นกรดบนพื้นผิวพบว่าตำแหน่งที่เป็นกรดส่วนใหญ่บนพื้นผิวยังมีความแรงมากพอที่จะดูดซับ NH_3 เอาไว้ได้แม้ว่าอุณหภูมิจะสูงถึง $500\text{ }^\circ\text{C}$ ก็ตาม

ตารางที่ 2 แสดงผลการการวิเคราะห์คุณสมบัติของตัวเร่งปฏิกิริยา

เทคนิคการวิเคราะห์ตัวเร่งปฏิกิริยา	
ปริมาณของโลหะบนตัวเร่งปฏิกิริยา (ICP-OES)	
- V_2O_5 (wt%)	3.03
- MgO (wt%)	0.64
Nitrogen Physisorption (m^2/g)	40.14
การวัดปริมาณความเป็นกรดบนพื้นผิวของตัวเร่งปฏิกิริยา	
- Pyridine adsorption	64.04
- NH_3 -TPD (อุณหภูมิ $\leq 500\text{ }^\circ\text{C}$)	26.32
- NH_3 -TPD (อุณหภูมิ $\geq 500\text{ }^\circ\text{C}$)	37.72

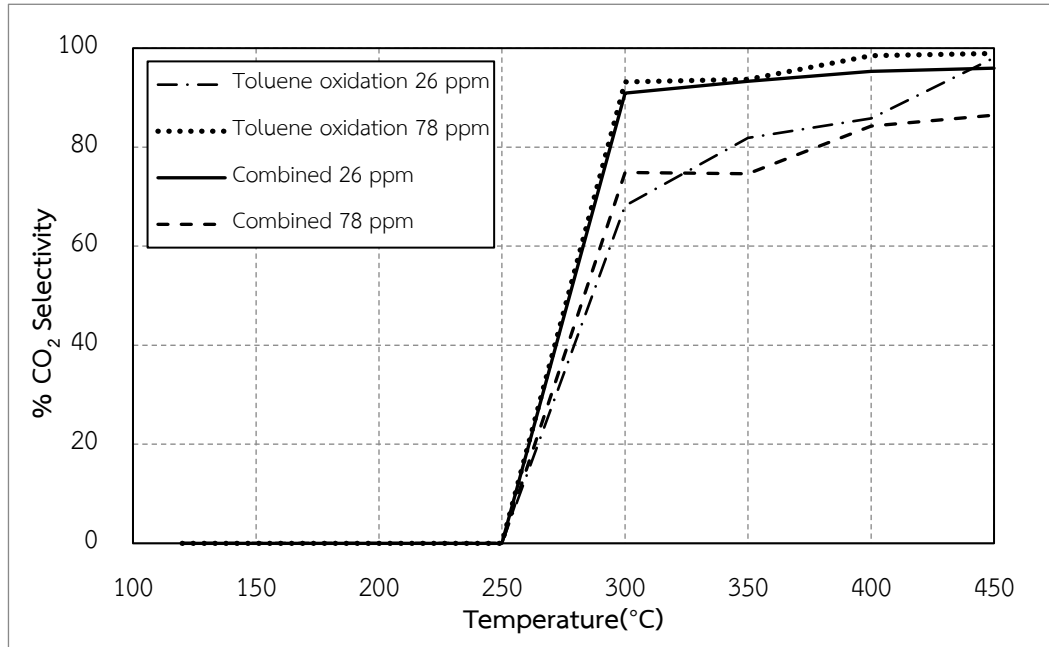
ผลการทดลอง

ผลการทดสอบความสามารถของตัวเร่งปฏิกิริยาในการกำจัดโทลูอิน ค่าการเลือกเกิด CO_2 และความสามารถในการกำจัด NO แสดงไว้ในรูปที่ 1-3 ตามลำดับ โดยผลการทดสอบความสามารถในการกำจัดโทลูอินที่แสดงในรูปที่ 1 พบว่า ที่อุณหภูมิการทำปฏิกิริยาต่ำจะเห็น %Toluene conversion มีค่าน้อย เนื่องจากปฏิกิริยาการออกซิไดซ์ต้องอาศัยพลังงานจำนวนหนึ่งในการเริ่มการเกิดปฏิกิริยา แต่เมื่ออุณหภูมิในการทำปฏิกิริยาเพิ่มสูงขึ้นจะเห็นค่า %Toluene conversion เพิ่มสูงขึ้น โดยค่าความเข้มข้นของ SO_2 ที่สูงกว่าส่งผลให้การกำจัดโทลูอินเกิดได้มากขึ้น ไม่ว่าจะเป็นในระบบการทดสอบแยกปฏิกิริยาหรือในระบบการทดสอบปฏิกิริยารวม เหตุผลที่เป็นเช่นนี้ก็เพราะปฏิกิริยาการออกซิไดซ์โทลูอินต้องอาศัยตำแหน่งว่างที่มีฤทธิ์เป็นกรดในการดูดซับโทลูอินที่มีวงแหวนเบนซีนที่ทำหน้าที่เป็นเสมือนลิวิสเบสอย่างอ่อน ก่อนที่จะเกิดการออกซิไดซ์โทลูอินเป็นสารอื่นถัดไป [4] โดยการดูดซับ SO_2 ที่เพิ่มสูงขึ้นตามความเข้มข้นในเฟสแก๊สจะไปทำให้ปริมาณตำแหน่งที่เป็นกรดบนพื้นผิวมีมากขึ้น การดูดซับโทลูอินจึงเกิดมากตามไปด้วย ส่งผลให้โทลูอินทำปฏิกิริยาได้มากขึ้น



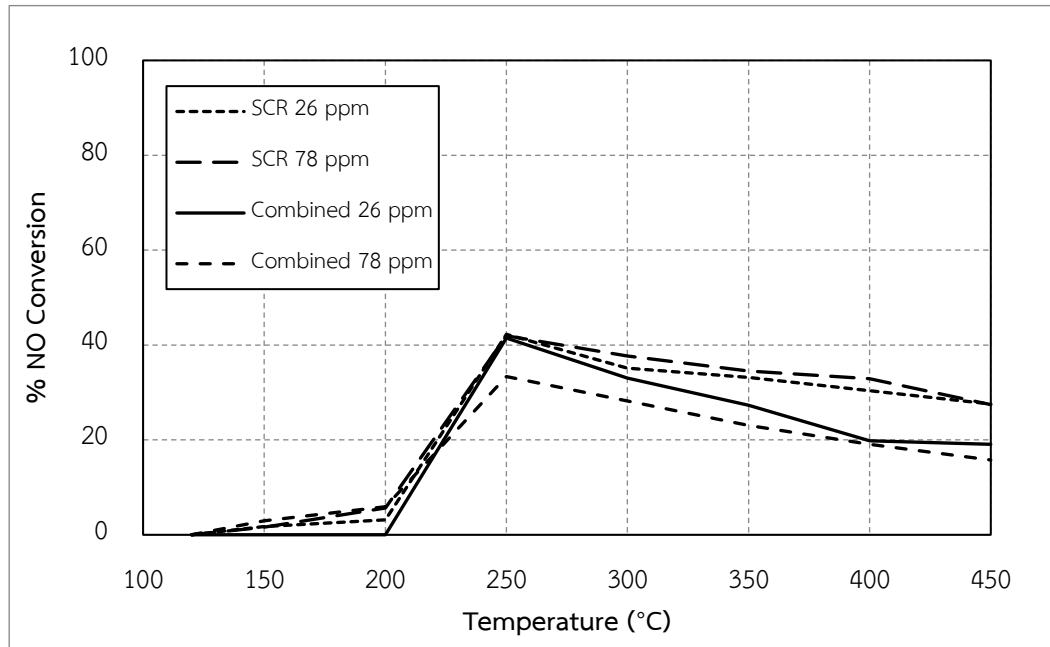
รูปที่ 1 การเปรียบเทียบ %Toluene conversion ของปฏิกิริยาโทลูอินออกซิเดชันและปฏิกิริยารวม ที่ความเข้มข้นของ SO₂ 26 และ 78 ppm

ส่วนค่าการเลือกเกิด CO₂ ที่แสดงในรูปที่ 2 พบว่าในช่วงอุณหภูมิต่ำจะไม่เห็นการเกิดของ CO₂ เนื่องจากความสามารถในการกำจัดโทลูอินที่อุณหภูมิต่ำมีค่าน้อย แต่เมื่อเพิ่มอุณหภูมิการทำปฏิกิริยาให้สูงเกินกว่า 250°C จะพบว่าการเกิด CO₂ เพิ่มขึ้นอย่างรวดเร็วไม่ว่าจะเป็นระบบที่ไม่มีปฏิกิริยา NH₃-SCR ร่วมอยู่หรือระบบที่มีการเกิดปฏิกิริยา NH₃-SCR ร่วมด้วย แต่ความเข้มข้น SO₂ ที่สูงขึ้นทำให้ค่าการเลือกเกิด CO₂ เปลี่ยนแปลงแตกต่างกัน กล่าวคือในระบบการทดสอบแยกปฏิกิริยานั้นความเข้มข้น SO₂ ที่สูงขึ้นไปทำให้สัดส่วนโทลูอินที่เปลี่ยนไปเป็น CO₂ เพิ่มมากขึ้น ทั้งนี้เป็นเพราะการดูดซับ SO₂ ที่เพิ่มสูงขึ้นตามความเข้มข้นในเฟสแก๊สจะไปทำให้ปริมาณตำแหน่งที่เป็นกรดบนพื้นผิวไม่เพียงแต่มีมากขึ้นแต่ยังมีความแรงมากขึ้นด้วย การดูดซับสารมัธยันต์ที่เกิดจากการออกซิไดซ์โทลูอิน (คือ benzoic acid ที่ตรวจพบว่ามี การควบแน่นและสะสมในระบบท่อทางออกของเครื่องปฏิกรณ์) จึงเกิดมากตามไปด้วย แต่ในระบบที่มีการเกิดปฏิกิริยา NH₃-SCR ร่วมให้ผลที่ตรงข้ามกัน กล่าวคือความเข้มข้น SO₂ ที่สูงขึ้นกลับทำให้ค่าการเลือกเกิด CO₂ ลดต่ำลง ทั้งนี้อาจเป็นเพราะในระบบปฏิกิริยารวมมี NH₃ มีฤทธิ์เป็นเบสที่แรงกว่า จึงเข้าไปแย่งจับกับตำแหน่งที่เป็นกรดบนพื้นผิวได้ดีกว่า benzoic acid ทำให้การออกซิไดซ์ benzoic acid ไปเป็น CO₂ ลดต่ำลง



รูปที่ 2 การเปรียบเทียบ %Carbon dioxide Selectivity ของปฏิกิริยาโทลูอินออกซิเดชันและปฏิกิริยารวม ที่ความเข้มข้นของ SO₂ 26 และ 78 ppm

สำหรับผลการกำจัด NO ที่แสดงในรูปที่ 3 พบว่าเมื่อเพิ่มอุณหภูมิสูงขึ้นค่า %NO conversion จะมีค่าสูงขึ้นจนถึงอุณหภูมิหนึ่งเท่านั้น จากนั้นค่า %NO conversion จะลดลงอันเป็นผลมาจากปฏิกิริยา ammonia oxidation ที่เป็นปฏิกิริยาข้างเคียงที่เกิดขึ้นได้เมื่ออุณหภูมิการทำปฏิกิริยาสูงระดับหนึ่ง (300-450 °C) โดยในปฏิกิริยา ammonia oxidation นี้แก๊ส NH₃ บางส่วนทำปฏิกิริยากับ O₂ กลายเป็น NO แทน ส่งผลให้มี NO เกิดเพิ่มขึ้นในระบบจึงทำให้ประสิทธิภาพการกำจัด NO ลดลงเนื่องจากการสูญเสียแอมโมเนียส่วนหนึ่งไป [5] เมื่อพิจารณาผลของความเข้มข้น SO₂ พบว่าที่ความเข้มข้นของ SO₂ สูงขึ้น ในกรณีของระบบปฏิกิริยาเดี่ยว %NO conversion เปลี่ยนแปลงในทิศทางเพิ่มขึ้นเพียงเล็กน้อย แต่ในกรณีของปฏิกิริยารวมกลับพบว่าเมื่อความเข้มข้น SO₂ เพิ่มสูงขึ้น ค่า %NO conversion มีการลดต่ำลงเล็กน้อย ทั้งนี้สามารถอธิบายได้ว่าในกรณีของปฏิกิริยา NH₃-SCR ที่ไม่มีปฏิกิริยาการออกซิไดซ์โทลูอินร่วมนั้น ความเป็นกรดบนพื้นผิวที่แรงขึ้นจากการที่มี SO₂ เพิ่มขึ้น ส่งผลให้พื้นผิวสามารถดูดซับปริมาณ NH₃ ได้สูงขึ้น การกำจัด NO จึงเพิ่มมากขึ้น ในขณะที่กรณีของระบบปฏิกิริยารวมนั้นจะมีการแย่งดูดซับบนพื้นผิวจากโทลูอินและ benzoic acid ทำให้โอกาสที่ NH₃ จะถูกดูดซับบนพื้นผิวลดลง ทำให้การเกิดปฏิกิริยา SCR ลดต่ำลง



รูปที่ 3 การเปรียบเทียบ %NO Conversion ของปฏิกิริยารีดักชันแบบเจาะจงและปฏิกิริยารวม ที่ความเข้มข้นของ SO₂ 26 และ 78 ppm

สรุปผลการทดลอง

ผลการทดลองแสดงให้เห็นว่าความเข้มข้น SO₂ ที่สูงขึ้นส่งผลทั้งทางบวกและทางลบในการทำปฏิกิริยาของตัวเร่งปฏิกิริยา V₂O₅-MgO/TiO₂ ในการกำจัด NO และโทลูอินร่วมกัน โดยความเข้มข้น SO₂ ที่เพิ่มสูงขึ้นส่งผลให้การกำจัดโทลูอินเพิ่มสูงขึ้น แต่ทำให้ค่าการเลือกเกิด CO₂ และการกำจัด NO ลดต่ำลงเล็กน้อย ดังนั้นตัวเร่งปฏิกิริยา V₂O₅-MgO/TiO₂ ที่ออกแบบมาใช้กับแก๊สที่มี SO₂ ต่ำ ยังสามารถนำไปใช้กับแก๊สที่มี SO₂ ที่สูงขึ้นได้ถ้าความเข้มข้น SO₂ นั้นไม่สูงมากเกินไป

เอกสารอ้างอิง

- [1] Liotta, L. F. (2010). Catalytic oxidation of volatile organic compounds on supported noble metals. *Applied Catalysis B: Environmental*, 100(3-4), 403-412.
- [2] Kamata, H., Takahashi, K., & Odenbrand, C. I. (1999). The role of K₂O in the selective reduction of NO with NH₃ over a V₂O₅ (WO₃)/TiO₂ commercial selective catalytic reduction catalyst. *Journal of Molecular Catalysis A: Chemical*, 139(2-3), 189-198.
- [3] วิรวงรอง ทองทวี. การกำจัดไนโตรเจนมอนอกไซด์พร้อมโทลูอินบนตัวเร่งปฏิกิริยา V₂O₅/TiO₂ ที่ได้รับการเสริมด้วย MgO (Dissertation, จุฬาลงกรณ์ มหาวิทยาลัย).
- [4] Fushun, T. A. N. G., ZHUANG, K., Fang, Y. A. N. G., Lili, Y. A. N. G., Bolian, X. U., Jinheng, Q. I. U.,

- & Yining, F. A. N. (2012). Effect of dispersion state and surface properties of supported vanadia on the activity of V_2O_5/TiO_2 catalysts for the selective catalytic reduction of NO by NH_3 . *Chinese Journal of Catalysis*, 33(4-6), 933-940.
- [5] Tomskii, I. S., Vishnetskaya, M. V., & Kokorin, A. I. (2008). The partial catalytic oxidation of toluene on vanadium and molybdenum oxides. *Russian Journal of Physical Chemistry B, Focus on Physics*, 2(4), 562-567.
- [6] Heck, R. M. (1999). Catalytic abatement of nitrogen oxides—stationary applications. *Catalysis Today*, 53(4), 519-523.